



# БИООРГАНИЧЕСКАЯ ХИМИЯ

том 7 \* № 5 \* 1981

УДК 547.918'914

## ТРИТЕРПЕНОВЫЕ ГЛИКОЗИДЫ *CERHALARIA GIGANTEA*

### II. СТРОЕНИЕ ГИГАНТЕАЗИДОВ D И G

Звиададзе Л. Д., Деканосидзе Г. Е., Джекия О. Д.,  
Кемертелидзе Э. П.

Институт фармацевтической химии им. И. Г. Кутателадзе Академии наук ГрузССР, Тбилиси

Шашков А. С.

Институт органической химии им. Н. Д. Зелинского  
Академии наук СССР, Москва

Изучена структура двух тритерпеновых гликозидов, выделенных из корней *Cerhalaria gigantea*: гигантеазида D и гигантеазида G. Установлено, что гигантеазид D представляет собой L-Rha p 1<sup>α</sup>-2-D-Xyl p 1<sup>β</sup>-3-олеаноловую кислоту, а гигантеазид G — L-Rha p 1<sup>α</sup>-2-D-Xyl p 1<sup>β</sup>-3-олеаноловую кислоту — 28<sup>β</sup>-D-Glc p.

Как указывалось ранее [1], из подземной части растения *Cerhalaria gigantea* (Led.) E. Bobr — головчатки гигантской семейства Dipsacaceae [2] были выделены гликозиды — гигантеазиды D, E, G, H, L.

В настоящей статье приведены данные по структуре гигантеазидов D и G.

С помощью полного кислотного гидролиза установлено, что гигантеазиды D и G являются производными олеаноловой кислоты; в углеводной части гигантеазида D были идентифицированы рамноза, ксилоза, в G — рамноза, ксилоза, глюкоза. После восстановления и последующего ацетилирования полученных гидролизатов методом ГЖХ [3, 4] в случае гигантеазида D идентифицировали ацетаты ксилита и рамнита в соотношении 1:1, в случае гигантеазида G — ацетаты рамнита, ксилита и сорбита в соотношении 1:1:1.

Чтобы установить в исследуемых соединениях наличие ацилгликозидных связей, гигантеазиды D и G подвергали щелочному гидролизу. Гигантеазид G отщепил при этом глюкозу, а полученное модифицированное соединение совпало по данным ТСХ с гигантеазидом D. Таким образом, в обоих исследуемых гигантеазидах остатки рамнозы и ксилозы присоединены к агликону гликозидными связями, в то время как остаток глюкозы в гигантеазиде G ацилирован олеаноловой кислотой. О наличии в гигантеазиде G сложноэфирной связи свидетельствует также полоса поглощения в области 1735—1760 см<sup>-1</sup> его ИК-спектра, смещающаяся в случае наличия незамещенной карбоксильной группы в область 1700 см<sup>-1</sup> (табл. 1).

Характер замещения моносахаридных остатков в гликозидах определяли при помощи метилирования сапонинов D и G по методу Хакомори [5] с последующим гидролизом, восстановлением, ацетилированием и

идентификацией полученных частично метилированных полиолов методом хромато-масс-спектрометрии [6]. В случае гигантеазида D этим методом идентифицировали 2,3,4-три-O-метил-1,5-ди-O-ацетилрамнит и 3,4-ди-O-метил-1,2,5-три-O-ацетилксилит в соотношении 1:1. Для гигантеазида G дополнительно к этим полиолам идентифицировали 1,5-ди-O-ацетил-2,3,4,6-тетра-O-метилсorbit в соотношении 1:1:1, что свидетельствует об ацилгликозидной связи остатка глюкозы с C28 олеаноловой кислоты.

Данные о структуре гигантеазидов D и G подтверждены также с помощью спектроскопии  $^{13}\text{C}$ -ЯМР. С помощью этого метода сделаны, кроме того, выводы о конфигурациях гликозидных связей и размерах циклов.

Для сахаров с фуранозными циклами характерен сигнал от атома C4 в области 79–84 м.д. [7]. Единственный сигнал в спектрах гигантеазидов D и G вблизи этой области (87,7 м.д. для D и 87,6 м.д. для G) относится за счет резонанса C3 в остатке олеаноловой кислоты. Следовательно, все

Таблица 1  
Физико-химические константы и состав гигантеазидов D и G

Соединение	T. п.t., °C	$[\alpha]^{20}_D$ , град	v, см <sup>-1</sup>	Агликон	Моносахариды и их соотношение
Гигантеазид D	248–252 (с разл.)	0	1705 (COOH)	Олеаноловая кислота	Xyl, Rha 1:1
Гигантеазид G	210–215 (с разл.)	–10 (c 1,0; MeOH)	1740 (COOR)	То же	Glc, Xyl, Rha, 1:1:1

Таблица 2

**Химические сдвиги  $^{13}\text{C}$ -ЯМР углеводных остатков в гигантеазидах D и G и модельных соединениях (δ-шкала)**

Соединение	Углеводный остаток	Раство-	Химические сдвиги, м.д.					
			C1'	C2'	C3'	C4'	C5'	C6'
Метил- $\alpha$ -L-рамнопиранозид [9]	—	$^2\text{H}_2\text{O}$	102,3	71,4	71,7	73,4	69,6	18,0
Метил- $\beta$ -L-рамнопиранозид [9]	—	$^2\text{H}_2\text{O}$	102,4	71,8	74,1	73,4	73,4	17,9
Гигантеазид D	$\alpha$ -L-Рамнопиранозил	ДМСО	100,2	70,0 *	70,5 *	72,2	68,2	17,8
Гигантеазид G	»	»	100,2	70,0 *	70,4 *	72,25	68,3	17,85
Метил-2-O-( $\beta$ -D-ксило-пиранозил)- $\beta$ -ксилиопиранозид [10]	2-Замещенный $\beta$ -D-ксило-пиранозил	$^2\text{H}_2\text{O}$	104,9	81,8 **	76,4	70,25	65,9	
Гигантеазид D	$\beta$ -D-Ксило-пиранозил	ДМСО	104,8	77,8 **	76,7	70,4 *	65,7	
Гигантеазид G	»	»	104,7	77,8	76,9	70,4 *	65,6	
Метил- $\beta$ -D-глюко-пиранозид [11]	—	$^2\text{H}_2\text{O}$	104,3	74,2	76,9	70,8	76,9	61,9
Гигантеазид G	$\beta$ -D-Глюко-пиранозил	ДМСО	103,15	73,65	76,9	70,2 *	76,9	61,6

\* Отнесение линий в спектрах гигантеазидов D и G в области резонанса 70,0–70,5 м.д. к конкретным атомам углерода условное.

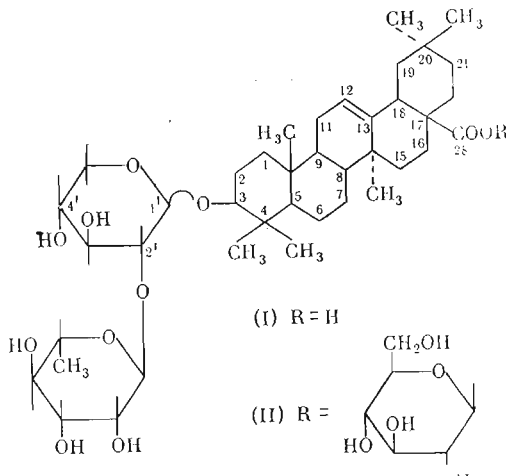
\*\* Различие в химических сдвигах C2 обусловлено различием в природе заместителей ( $\beta$ -D-ксило-пиранозил и  $\alpha$ -L-рамнопиранозил).

углеводные остатки в обоих гликозидах находятся в пиранозной форме.

Для пиранозидов с *манно*(*рамно*)-конфигурацией не наблюдалось сигналов от атома C1 с химическим сдвигом ниже 104 м.д. Значит, в спектре гигантеазида D сигнал с химическим сдвигом 104,8 м.д. следует отнести за счет резонанса атома C1 ксилопиранозного остатка. Величина химического сдвига атома C1 в этом остатке однозначно свидетельствует о  $\beta$ -конфигурации гликозидного центра [8]. По химическому сдвигу сигнала от атома C1 рамнозного остатка нельзя судить о конфигурации гликозидного центра, так как  $\alpha$ - и  $\beta$ -аномерные рамнопиранозиды имеют близкие по величине химические сдвиги от атома C1 [8]. Поэтому критерием для определения конфигурации гликозидного центра в этом остатке является величина химических сдвигов C3 и C5 (табл. 2). Сопоставление спектра сапонина D со спектрами метил- $\alpha$ - и  $\beta$ -L-рамнопиранозидов позволяет приписать рамнопиранозидным остаткам в гигантеазиде D  $\alpha$ -конфигурацию. Небольшое различие в величинах химических сдвигов C2–C5 для сапонина D и для  $\alpha$ -L-метилрамнопиранозида — следствие съемки в разных растворителях (см. табл. 2).

Спектр гигантеазида G отличается от спектра гигантеазида D прежде всего наличием шести новых линий в области резонанса атомов углерода глюкопиранозидов. С учетом данных о моносахаридном составе гликозидной цепи в сапонине D естественно отнести появление указанных линий за счет резонанса атомов углерода в глюкопиранозидном остатке. Величина химического сдвига от атома C1 этого моносахарида позволяет однозначно приписать ему  $\beta$ -конфигурацию гликозидного центра. Химические сдвиги остальных атомов углерода глюкопиранозидного остатка (C2, C3 и C5) также отвечают именно  $\beta$ -D-глюкопиранозиду.

Таким образом, гигантеазидам D и G можно приписать структуры (I) и (II) соответственно.



### Экспериментальная часть

Для хроматографии исследуемых соединений и их производных использовали бумагу марки «М» отечественного производства и бумагу марки FN-13, пластиинки с закрепленным слоем силикагеля марки КСК, для колонки — силикагель марки L40/100 и 100/160 мкм (ЧССР) и следующие системы растворителей: хлороформ — метanol — вода, 26:14:3 (А); бутанол — этанол — вода, 10:2:5 (Б); этилацетат — метанол — вода, 10:2:5 (В); пиридин — этилацетат — вода, 2:8:1 (Г); хлороформ — метанол, 20:1 (Д). Для обнаружения веществ на хроматограммах были применены следующие реактивы: для тритерпеновых гликозидов и их агликонов — 25% раствор фосфорновольфрамовой кислоты в этаноле [12]; для моно-

сахаридов — о-толуидинсуалицилат [13]; ГЖХ-анализ проводили на приборе ЛХМ-8МД на колонке 3% ECNSS на хромосорбе W (температура ввода 120° С, 4° С/мин). Масс-спектры снимали на приборе «Varian MAT-III» на колонке 3% ECNSS (температура ввода 120° С, 4° С/мин). Спектры  $^{13}\text{C}$ -ЯМР измеряли на приборе «Bruker WP-60» (в ДМСО), ИК-спектры — на спектрофотометре UR-20 (в вазелиновом масле).

**Кислотный гидролиз.** По 20 мг гигантеазидов D и G гидролизовали 8 ч 2 н.  $\text{H}_2\text{SO}_4$  в 50% метаноле при 100° С. Выпавший агликон отфильтровывали, промывали и хроматографировали в системе D. Его идентифицировали сравнением с образцом олеаноловой кислоты. Гидролизат нейтрализовали анионитом ЭДЭ-10П ( $\text{HCO}^-$ -форма), концентрировали и хроматографировали на бумаге (система Г).

**Получение ацетатов полиолов.** По 10 мг гигантеазидов D и G гидролизовали 3 ч 1 н. HCl при 100° С и упаривали досуха. Остаток растворяли в 2 мл 50% водного метанола и восстанавливали  $\text{NaBH}_4$  в течение 12 ч при 20° С, обрабатывали катионитом (КУ-2,  $\text{H}^+$ -форма), отфильтровывали и упаривали несколько раз с метанолом. Высущенное вещество ацетилировали в смеси пиридина (2 мл) и  $\text{Ac}_2\text{O}$  (2 мл) 12 ч при 20° С, после чего упаривали с метанолом и толуолом (для удаления пиридина). Продукт экстрагировали хлороформом и упаривали. Полученные ацетаты полиолов идентифицировали с помощью ГЖХ сравнением с заведомыми образцами.

**Щелочной гидролиз.** По 10 мг гликозидов D и G растворяли в 5 мл 1% KOH, нагревали 2 ч при 100° С, после чего реакционную смесь нейтрализовали катионитом (КУ-2,  $\text{H}^+$ -форма) и упаривали в вакууме. ТСХ-анализ в системах А—В в обоих случаях показал присутствие гигантеазида D. БХ-анализ в системе Г гидролизата гигантеазида G показал присутствие глюкозы.

**Метилирование по Хакомори** [5] осуществляли, используя по 100 мг гликозидов D и G. Полноту метилирования контролировали с помощью ИК-спектрометрии. Выход метилированного продукта составлял 80 мг. Выделенные метилированные продукты подвергали формолизу ( $\text{HCOOH}$ , 1 ч, 100° С), упаривали, а затем гидролизовали 1 н. HCl. Смесь продуктов восстанавливали  $\text{NaBH}_4$  и ацетилировали как описано выше. Ацетаты частично метилированных полиолов идентифицировали методом хромато-масс-спектрометрии сравнением с заведомыми образцами и в соответствии с литературными данными [8].

## ЛИТЕРАТУРА

1. Звиададзе Л. Д., Деканосидзе Г. Е., Кемергелидзе Э. Н. Тriterpenовые гликозиды *Cephalaria gigantea*. — Химия природы. соедин., 1980, № 3, с. 423.
2. Бобров Е. Г. Флора СССР. Сем. *Dipsacaceae*. М.—Л.: Изд. АН СССР, 1957, т. 24, с. 29—31.
3. Björndal H., Lindberg B., Svensson S. Gas-liquid chromatography of partially methylated aldítols as their acetates. — Acta chem. scand., 1967, v. 21, № 7, p. 1801—1804.
4. Lönnqvist J., Pilotti A. Gas-liquid chromatography of partially methylated aldítols as their acetates. — Acta chem. scand., 1971, v. 25, № 3, p. 1144—1145.
5. Nakomori S. A rapid permethylation of glycolipid and polysaccharide catalysed by methylsulfinyl carbonium in dimethyl sulfoxide. — J. Biochem. (Tokio), 1964, v. 55, p. 205—208.
6. Björndal H., Lindberg B., Svensson S. Mass-spectrometry of partially methylated aldítol acetates. — Carbohydr. Res., 1967, v. 5, № 4, p. 433—440.
7. Gorin P. A. I., Mazurek M. Carbon-13 and proton nuclear magnetic resonance studies of methyl aldonofuranosides and their O-alkyl derivatives. — Carbohydr. Res., 1976, v. 48, № 2, p. 171—186.
8. Шашков А. С., Чижов О. С. Спектроскопия  $^{13}\text{C}$ -ЯМР в химии углеводов и родственных соединений. — Биоорганическая химия, 1976, т. 2, № 4, с. 437—497.
9. Бакиновский Л. В., Балан Н. Р., Шашков А. С., Кочегров Н. К. Синтез  $\beta$ -L-рамнопиранозидов. — Биоорганическая химия, 1980, т. 6, № 3, с. 464—467.
10. Kovac B., Hirsch J., Shashkov A. S., Usov A. I., Jarotsky S. V.  $^{13}\text{C}$ -NMR spectra of xylo-oligosaccharides and their application to the elucidation of xylan structures. — Carbohydr. Res., 1980, v. 85, p. 177—185.

11. Gorin P. A. I., Mazurek M. Falther studies on the assignment of signals in  $^{13}\text{C}$  magnetic resonance spectra of aldoses and derived methyl glycosides.— Can. J. Chem., 1975, v. 53, № 8, p. 1212–1223.
12. Pasich B. Zwiazki trojterpenowe w matheriale Roslinnym. Dissert. pharm. PAN, 1959, v. XI, p. 23–29.
13. Пирцхалава Г. В., Горовиц М. Б., Горовиц Т. Т., Абубакиров Н. К. Стероидные сапонины и сапогенины Allium.— Химия природн. соедин., 1979, № 4, с. 514–520.

Поступила в редакцию  
30.VII.1980

После доработки  
10.X.1980

## TRITERPENE GLYCOSIDES OF *Cephalaria gigantea*. II. THE STRUCTURE OF GIGANTEASIDS D AND G

ZVIADADZE L. D., DEKANOSIDZE G. E., GIKIA O. D.,  
KEMERTELIDZE E. P., SHASHKOV A. S.

I. G. Kutateladze Institute of Pharmacochemistry, Academy of Sciences of the Georgian SSR, Tbilisi; N. D. Zelinsky Institute of Organic Chemistry, Academy of Sciences of the USSR, Moscow

Two triterpene glycosides, giganteasids *D* and *G*, were isolated from the roots of *Cephalaria gigantea*. Using chemical and physico-chemical methods such as  $^{13}\text{C}$  NMR spectroscopy, giganteasids *D* and *G* were shown to have the structure: *L*-Rhap $\downarrow$ — $^2\text{D}$ - $\overset{\alpha}{\text{Xylp}}\downarrow$ — $^3\text{-oleanolic acid}$  and *L*-Rhap $\downarrow$ — $^2\text{-D-Xylp}\downarrow$ — $^3\text{-oleanolic acid}$  —  $28\leftarrow\text{D-GlcP}$ , respectively.